

Ondes de Faraday dans un fluide vibré en rotation

L. Kahouadji^a, D. Juric^a, J. Chergui^a, S. Shin^b & L. S. Tuckerman^c

15e Rencontre du non linéaire

^a LIMSI-CNRS, BP 133, rue John von Neumann - 91403 Orsay Cedex, France

^b Department of Mechanical Engineering, Hongik University, Seoul, Korea

^c PMMH-CNRS-ESPCI, 10 rue Vauquelin - 75231 Paris Cedex 5, France



www.limsi.fr



<http://home.hongik.ac.kr>

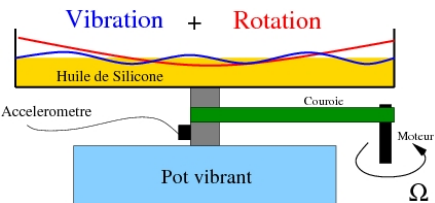


www.pmmh.espci.fr

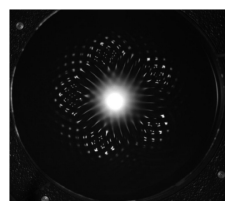
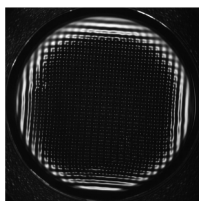
Présentation de l'étude

Vibration suivant l'axe e_z + Rotation autour de l'axe e_z

Instabilités de Faraday Newton's Bucket



Dispositif expérimental [1] & [2]



[1]: $\Omega \sim 1.1$ Hz

[1]: $\Omega \sim 1.3$ Hz

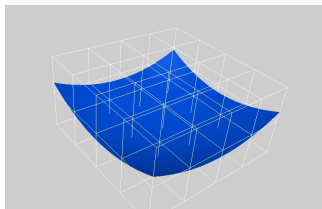
[1] **C. Fontaine**. Instabilité de Faraday en rotation. Rapport de Stage. MSC, Univ. Paris VII Diderot. 2010.

[2] **G. Pucci**. Communication privée.

Modélisation numérique

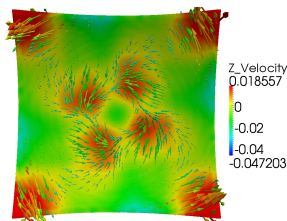
Code BLUE: **3D, non linéaire, diphasique et parallèle**

$$\rho \frac{\partial \mathbf{u}}{\partial t} + (\mathbf{u} \cdot \nabla) \mathbf{u} = -\nabla p + \nabla \cdot \mu(\nabla \mathbf{u} + \nabla \mathbf{u}^T) + \int_{S'(t)} \sigma \kappa \mathbf{n} \delta(\mathbf{x} - \mathbf{x}') dS$$
$$+ \underbrace{\rho(\gamma \cos(\omega t) - g)\mathbf{e}_z}_{\text{force de vibration}} - \underbrace{\rho \Omega \times (\Omega \times \mathbf{x})}_{\text{Centrifuge}} - \underbrace{2\rho \Omega \times \mathbf{u}}_{\text{Coriolis}}$$



Interface à $t = 0$

Exemple: $\gamma = 2.5g$, $\omega = 60$ Hz et $\Omega \sim 1.3$ Hz



Vitesse axiale sur l'interface